

АЛГОРИТМЫ РАСЧЕТА И ЧИСЛЕННЫЙ АНАЛИЗ ПОЛЕЙ ПОСТОЯННЫХ ТОКОВ В КУСОЧНО-ОДНОРОДНОЙ СРЕДЕ МЕТОДОМ ГРАНИЧНЫХ ИНТЕГРАЛЬНЫХ УРАВНЕНИЙ*

1. Введение

Задачи расчета полей постоянных токов в кусочно-однородной среде встречаются в различных областях естествознания. Они возникают в теории электроразведки на постоянном токе [1, 2], при моделировании электротехнических систем [3] и при исследовании биоэлектрических явлений [4, 5, 6].

В данной работе изучается метод граничных интегральных уравнений для численного расчета полей постоянных токов в трехмерных областях, заполненных кусочно-однородной средой. Данна постановка задачи и построена система интегральных уравнений Фредгольма I рода.

Детально рассматриваются вычислительные алгоритмы и схемы решения задачи, включающие:

- построение расчетных поверхностей;
- триангуляцию;
- вычисление поверхностных интегралов;
- построение и решение системы блочно-матричных уравнений.

Приведены результаты вычислительных экспериментов.

2. Постановка задачи

Рассмотрим область $\Omega = \Omega_0 \cup \dots \cup \Omega_N$ в R^3 (рис. 1). Границы Γ_i областей Ω_i ($i = 0, 1, \dots, N$) достаточно гладкие (поверхности Ляпунова). Поставим следующую задачу.

Требуется найти функцию $u(x)$ такую, что $u \in C(\bar{\Omega})$; $u(x) = u_i(x)$, $x \in \Omega_i$ ($i = 0, 1, \dots, N$), где $u_i \in C^2(\Omega_i) \cap C^1(\bar{\Omega}_i)$ и

$$\Delta u_i(x) = 0, x \in \Omega_i, i = 0, 1, \dots, N, \quad (1)$$

$$u_0(x) = U_0(x), x \in \Gamma_0, U_0(x) \in C(\Gamma_0). \quad (2)$$

На границах Γ_i ($i = 0, 1, \dots, N$) выполняются условия сопряжения

$$u_0(x) = u_i(x), x \in \Gamma_i, i = 1, 2, \dots, N, \quad (3)$$

$$k_0 \frac{\partial u_0(x)}{\partial n} = k_i \frac{\partial u_i(x)}{\partial n}, x \in \Gamma_i, i = 1, 2, \dots, N. \quad (4)$$

* Работа выполнена при поддержке РФФИ, проект № 08-01-00314

Параметры k_i ($i = 0, 1, \dots, N$) положительны и конечны.

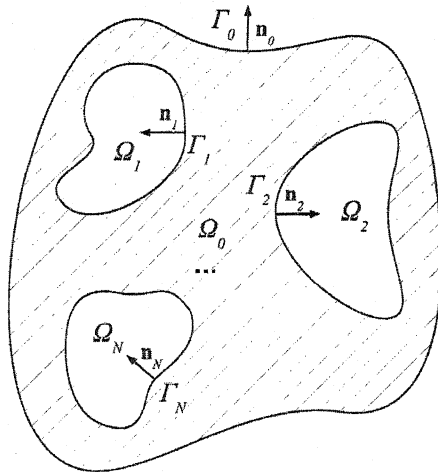


Рис. 1. Область Ω

3. Построение системы интегральных уравнений Фредгольма I рода

Для области Ω_0 с многосвязной границей $\Gamma_0 \cup \Gamma_1 \cup \dots \cup \Gamma_N$ и внешним направлением нормалей, используя третью формулу Грина и условие сопряжения (3), можно записать $N+1$ уравнение

$$2\pi u_i(x) = \sum_{j=0}^N \left(\int_{\Gamma_j} q_j^+(y) \frac{1}{|x-y|} ds_y - \int_{\Gamma_j} u_j(y) \frac{\partial}{\partial n_y} \frac{1}{|x-y|} ds_y \right), \quad (5)$$

где $i = 0, 1, \dots, N$, $x \in \Gamma_i$ – точки коллокации, $y \in \Gamma_j$ – точки интегрирования, $|x-y|$ – расстояние между точками x и y , $q_j^+(y) = \frac{\partial u_0(y)}{\partial n_y}$.

В свою очередь, для каждой области Ω_i с односвязной границей Γ_i и внутренним направлением нормалей можно записать следующие N граничных интегральных уравнения

$$-2\pi u_i(x) = \int_{\Gamma_i} q_i^-(y) \frac{1}{|x-y|} ds_y - \int_{\Gamma_i} u_i(y) \frac{\partial}{\partial n_y} \frac{1}{|x-y|} ds_y, \quad (6)$$

где $i = 1, 2, \dots, N$, $x \in \Gamma_i$ – точки коллокации, $y \in \Gamma_i$ – точки интегрирования, $|x - y|$ – расстояние между точками x и y , $q_i^-(y) = \frac{\partial u_i(y)}{\partial n_y}$. С учетом условия сопряжения (4) верно

$$q_i^-(y) = \frac{k_0}{k_i} q_i^+(y), i = 1, 2, \dots, N, y \in \Gamma_i,$$

и уравнение (6) можно записать в виде

$$-2\pi u_i(x) = \int_{\Gamma_i} \frac{k_0}{k_i} q_i^+(y) \frac{1}{|x - y|} ds_y - \int_{\Gamma_i} u_i(y) \frac{\partial}{\partial n_y} \frac{1}{|x - y|} ds_y, i = 1, 2, \dots, N. \quad (7)$$

Объединяя (5) и (7), получим систему интегральных уравнений Фредгольма I рода

$$\begin{cases} 2\pi u_i(x) = \sum_{j=0}^N \left(\int_{\Gamma_j} q_j^+(y) \frac{1}{|x - y|} ds_y - \int_{\Gamma_j} u_j(y) \frac{\partial}{\partial n_y} \frac{1}{|x - y|} ds_y \right), \\ \quad x \in \Gamma_i, i = 0, 1, \dots, N, \\ -2\pi u_i(x) = \int_{\Gamma_i} \frac{k_0}{k_i} q_i^+(y) \frac{1}{|x - y|} ds_y - \int_{\Gamma_i} u_i(y) \frac{\partial}{\partial n_y} \frac{1}{|x - y|} ds_y, \\ \quad x \in \Gamma_i, i = 1, 2, \dots, N. \end{cases} \quad (8)$$

Можно показать, что система интегральных уравнений (8) эквивалентна исходной задаче (1)-(4), она однозначно разрешима, если существует решение задачи (1)-(4), а ее решение может быть получено методом интерполяции и коллокаций [7, 8, 9].

4. Этапы численного решения

Для численного решения системы интегральных уравнений (8) необходимы следующие этапы:

1. Построение и триангуляция поверхностей Γ_i , $i = 0, 1, \dots, N$.
2. Вычисление поверхностных интегралов.
3. Формирование и решение системы блочно-матричных уравнений.

Рассмотрим каждый из этих этапов отдельно. Поверхности Γ_i создавались в редакторе трехмерного поверхностного моделирования как совокупности связанных NURBS-поверхностей, ограничивающих замкнутый объем. Такой способ позволяет, с одной стороны, представить достаточно сложную поверхность, а, с другой стороны, позволяет сохранить преимущества аналитического описания поверхности.

Представление в виде NURBS-поверхностей также позволяет применять алгоритмы автоматического построения триангуляционной рас-

четной сетки. В работе использовался алгоритм распространяющегося фронта (Advancing Front Triangulation), который позволяет управлять числом граничных элементов в расчетной сетке и создает треугольники достаточно близкие к равносторонним [10]. Результаты автоматической триангуляции NURBS-поверхности приведены на рис. 2.

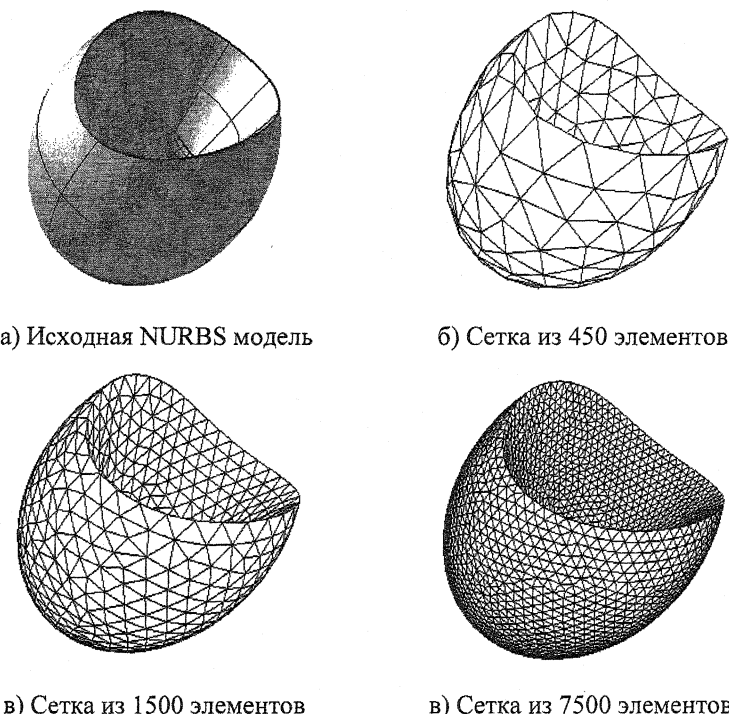


Рис. 2. Построение расчетной сетки для поверхностей Γ_i .

После триангуляции каждая поверхность Γ_i представлена в виде со-вокупности граничных элементов $ds_p : \Gamma_i = ds_1 \cup ds_2 \cup \dots \cup ds_m$. Следуя [11] перейдем к дискретному представлению системы (8).

Введем систему из m линейно независимых базисных элементов $\varphi_1, \varphi_2, \dots, \varphi_m$ (характеристических функций), определенных следующим образом

$$\begin{cases} \varphi_p(s) = 1, & s \in ds_p, \\ \varphi_p(s) = 0, & s \notin ds_p. \end{cases}$$

Значение функции $u(x)$ и ее нормальной производной представим в виде разложения по системе базисных функций φ_p (кусочно-постоянная аппроксимация)

$$u(s) = \sum_{p=1}^m \alpha_p \cdot \varphi_p(s), \quad (9)$$

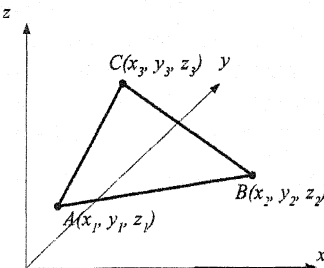
$$q(s) = \sum_{p=1}^m \beta_p \cdot \varphi_p(s),$$

где α_p – значение $u(s)$, β_p – значение $q(s)$ в центре тяжести p -го граничного элемента.

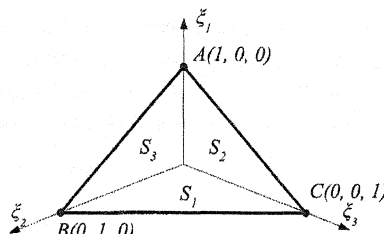
Далее для каждого граничного элемента ABC необходимо вычислить интегралы вида

$$\int_{\Gamma_j} \frac{1}{|x-y|} ds_y, \quad x \in \Gamma_i, \quad (10)$$

$$\int_{\Gamma_j} \frac{\partial}{\partial n_y} \frac{1}{|x-y|} ds_y, \quad x \in \Gamma_i, \quad (11)$$



а) Декартовый базис



б) Естественный базис треугольника

Рис. 3. Преобразование координат точки интегрирования.

Пусть

$$L = W^{-1} = \begin{bmatrix} x_1 & x_2 & x_3 \\ y_1 & y_2 & y_3 \\ z_1 & z_2 & z_3 \end{bmatrix}^{-1}$$

аффинное преобразование декартовых координат (x, y, z) произвольной точки внутри треугольника в координаты (ξ_1, ξ_2, ξ_3) в естественном базисе треугольника ABC, где (x_1, y_1, z_1) – координаты точки A, (x_2, y_2, z_2) – координаты точки B, (x_3, y_3, z_3) – координаты точки C, $\xi_1 + \xi_2 + \xi_3 = 1$ (см. рис. 3).

При помощи замены переменных

$$\xi_1 = \frac{1 + \tau_1}{2}, \quad \xi_2 = \frac{(1 - \tau_1)(1 + \tau_2)}{4}$$

поверхностный интеграл по треугольнику ABC можно свести к двукратному интегрированию по переменным τ_1 и τ_2

$$\int_{ABC} f(x, y, z) ds = \frac{S_{ABC}}{4} \int_{-1}^1 (1 - \tau_1) \int_{-1}^1 f(\tau_1, \tau_2) d\tau_2 d\tau_1,$$

где S_{ABC} – площадь треугольника ABC .

Для численного вычисления данного интеграла можно применять симметричные квадратурные формулы Гаусса. В данной работе применялась симметричная схема Гаусса с 4-й степенью интерполирующего полинома [12].

В случае, когда точка коллокации x и точка интегрирования y совпадают, интегралы вида (10) и (11) имеют особенность, и непосредственно применять квадратурные формулы Гаусса нельзя. Для вычисления таких интегралов каждый граничный элемент ABC разбивался на три подэлемента OAB , OBC , OCA лучами, проходящими через вершины треугольника (точки A, B, C) и его центр тяжести (точка O), и для каждого такого подэлемента интегралы вычислялись отдельно. При использовании квадратурных формул Гаусса такой подход аналогичен введению дополнительных узлов интегрирования для треугольника ABC , соответствующих узлам интегрирования для каждого подэлемента OAB , OBC , OCA .

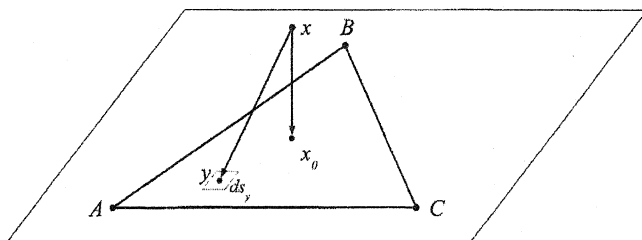


Рис. 4. Вычисление интеграла с особенностью

Таким образом, при вычислении интегралов без особенностей в ядре применялась симметричная схема Гаусса с 4-й степенью интерполирующего полинома, а при вычислении интегралов с особенностью применялась модифицированная симметричная схема Гаусса с дополнительными узлами интегрирования.

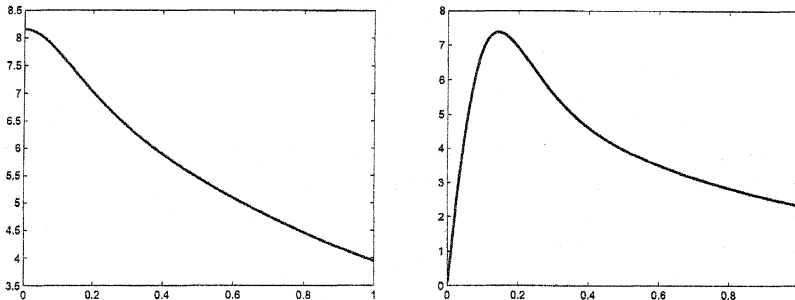
Для оценки точности интегрирования по приведенной выше схеме, рассмотрим следующие функции (см. рис. 4)

$$f(|x - x_0|) = \int_{ABC} \frac{1}{|x - y|} ds_y, \quad y \in ABC, \quad (12)$$

$$f(|x - x_0|) = \int_{ABC} \frac{\partial}{\partial n} \frac{1}{|x - y|} ds_y, \quad y \in ABC, \quad (13)$$

где x_0 – центр тяжести треугольника ABC , $|x - x_0|$ – расстояние от точки x до x_0 . Таким образом, для каждой точки x вычисляется расстояние $|x - x_0|$ и значение поверхностных интегралов с ядрами $\frac{1}{|x - y|}$ и $\frac{\partial}{\partial n} \frac{1}{|x - y|}$.

Графики этих функций приведены на рис. 5. По оси x отложено расстояние $|x - x_0|$, по оси y – значения интегралов.



$$\text{а)} f(|x - x_0|) = \int_{ABC} \frac{1}{|x - y|} ds_y \quad \text{б)} f(|x - x_0|) = \int_{ABC} \frac{\partial}{\partial n} \frac{1}{|x - y|} ds_y$$

Рис. 5. Оценка точности вычисления поверхностных интегралов

После вычисления поверхностных интегралов система интегральных уравнений (8) в дискретном виде будет записана как

$$\begin{cases} 2\pi u_i = \sum_{j=0}^N (G_{ij} q_j^+ - \tilde{H}_{ij} u_j), & i = 0, 1, \dots, N, \\ -2\pi u_i = \left(\frac{k_0}{k_i} G_{ii} q_i^+ - \tilde{H}_{ii} u_i \right), & i = 1, 2, \dots, N, \end{cases} \quad (14)$$

где матрицы G_{ij} получены в результате дискретизации интегралов вида

$$\int_{\Gamma_i} \frac{1}{|x - y|} ds_y, \quad x \in \Gamma_i, \quad (15)$$

матрицы \tilde{H}_{ij} получены в результате дискретизации интегралов вида

$$\int_{\Gamma_j} \frac{\partial}{\partial n_y} \frac{1}{|x-y|} ds_y, \quad x \in \Gamma_i, \quad (16)$$

Матрицы H_{ij}^+ и H_{ij}^- определим как

$$H_{ij}^+ = \begin{cases} \tilde{H}_{ij}, & i \neq j, \\ \tilde{H}_{ij} + 2\pi E, & i = j, \end{cases} \quad (17)$$

$$H_{ij}^- = \begin{cases} \tilde{H}_{ij}, & i \neq j, \\ \tilde{H}_{ij} - 2\pi E, & i = j, \end{cases}$$

где E – единичная матрица. Тогда система (14) примет вид

$$\sum_{j=0}^N H_{ij}^+ u_j = \sum_{j=0}^N G_{ij} q_j^+, \quad i = 0, 1, \dots, N, \quad (18)$$

$$H_{ii}^- u_i = \frac{k_0}{k_i} G_{ii} q_i^+, \quad i = 1, 2, \dots, N.$$

Система (18) содержит $(2N+1)$ уравнение и $(4N+2)$ неизвестных. Получим из нее систему из $(N+1)$ уравнения с $(N+1)$ неизвестными.

Согласно вычислительным экспериментам, числа обусловленности матриц G_{ij} и H_{ij} равны

$$\kappa(G_{ij}) \approx \begin{cases} 10^1 - 10^2, & i = j \\ 10^{17} - 10^{20}, & i \neq j \end{cases}, \quad (19)$$

$$\kappa(H_{ij}) \approx \begin{cases} 10^1 - 10^3, & i = j \\ 10^{17} - 10^{20}, & i \neq j \end{cases}$$

Таким образом, матрицы G_{ii} и H_{ii} допускают прямое обращение. Но при этом нужно учитывать, что сумма по строкам матриц H_{ii} равна нулю. Поэтому для сокращения числа уравнений следует обращать матрицы G_{ii} . Соответственно преобразуем (18) к виду

$$\begin{cases} R_{01}u_1 + R_{02}u_2 + \dots + R_{0N}u_N = G_{00}q_0^+ - H_{00}^+u_0 \\ R_{11}u_1 + R_{12}u_2 + \dots + R_{1N}u_N = G_{10}q_0^+ - H_{10}^+u_0 \\ \dots \\ R_{N1}u_1 + R_{N2}u_2 + \dots + R_{NN}u_N = G_{N0}q_0^+ - H_{N0}^+u_0 \end{cases}, \quad (20)$$

где

$$R_{ij} = H_{ij}^+ - \frac{k_j}{k_0} G_{ij} G_{jj}^{-1} H_{jj}^-, \quad i = 0, 1, \dots, N, j = 1, 2, \dots, N., \quad (21)$$

Применяя заданные условия Дирихле (2) к (20), получим систему

$$\begin{cases} -G_{00}q_0^+ + R_{01}u_1 + R_{02}u_2 + \dots + R_{0N}u_N = -c_0 \\ -G_{10}q_0^+ + R_{11}u_1 + R_{12}u_2 + \dots + R_{1N}u_N = -c_1 \\ \dots \\ -G_{N0}q_0^+ + R_{N1}u_1 + R_{N2}u_2 + \dots + R_{NN}u_N = -c_N \end{cases}, \quad (22)$$

или в компактном виде

$$\begin{bmatrix} -G_{00} & R_{01} & R_{02} & \dots & R_{0N} \\ -G_{10} & R_{11} & R_{12} & \dots & R_{1N} \\ \vdots & \vdots & \vdots & \ddots & \vdots \\ -G_{N0} & R_{N1} & R_{N2} & \dots & R_{NN} \end{bmatrix} \cdot \begin{bmatrix} q_0^+ \\ u_1 \\ u_2 \\ \vdots \\ u_N \end{bmatrix} = \begin{bmatrix} -c_0 \\ -c_1 \\ -c_2 \\ \vdots \\ -c_N \end{bmatrix} \quad (23)$$

где $c_i = H_{i0}^+ U_0$.

Классический подход в методе граничных элементов заключается в объединении блоков матрицы и свободных членов системы (23) в единую систему линейных уравнений $Ax = b$. Недостатком такого подхода является достаточно большие требования к ресурсам компьютера при решении задач большой размерности.

Альтернативным способом является применение итерационного метода Зейделя к блочно-матричной системе уравнений (23). В этом случае на каждой итерации последовательно находятся следующие приближения неизвестных величин q_0^+, u_1, \dots, u_N .

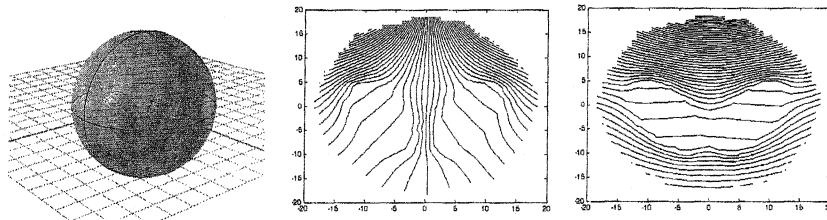
В результате, расчетный алгоритм состоит из следующих шагов:

1. Для каждой границы Γ_i выбирается направление нормалей, внешнее по отношению к области Ω_0 (см. рис. 1).
2. В редакторе трехмерного поверхностного моделирования создается каждая граница Γ_i как совокупность NURBS-поверхностей. После этого автоматически строится триангуляционная сетка при помощи алгоритма распространяющегося фронта.
3. Для каждой пары границ Γ_i, Γ_j формируются матрицы G_{ij} и \tilde{H}_{ij} путем численного вычисления поверхностных интегралов (10) и (11) с точками коллокации $x \in \Gamma_i$ и $y \in \Gamma_j$, точки берутся в центрах тяжести граничных элементов.
4. Вычисляются матрицы R_{ij} по формулам (17) и (21), применяются граничные условия Дирихле. Таким образом, формируется система блочно-матричных уравнений (23).
5. Полученная система решается либо путем прямого выражения неизвестных, либо итерационным методом Зейделя.

5. Некоторые численные результаты

Приведем численные результаты расчета полей постоянных токов для трехмерных кусочно-однородных областей.

Конфигурация первой области представлена на рис. 6а). Область Ω_0 с коэффициентом проницаемости $k_0 = 1$ имеет два включения с коэффициентами $k_1 = 5$ и $k_2 = 7$. Число граничных элементов в расчете было порядка 3000. На рисунках 6 б) и 6 в) представлены линии уровня потенциала на плоских сечениях $z = 0$ и $y = 0$.



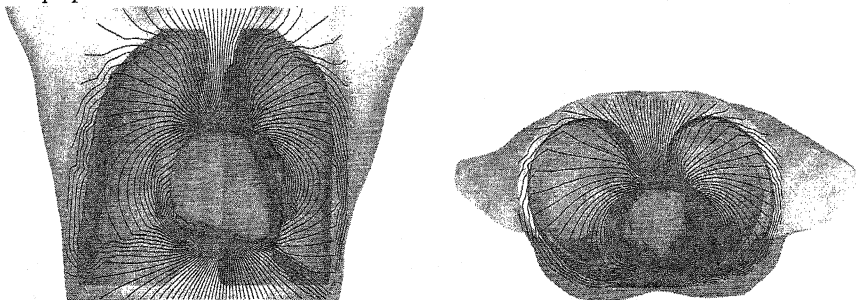
а) Исходная модель

б) Линии уровня на
плоскости $y = 0$

в) Линии уровня на
плоскости $z = 0$

Рис. 6. Результаты расчетов для области с двумя включениями

В качестве второй расчетной области бралась реальная геометрия торса, сердца и легких человека. Геометрия была построена в системе поверхностного трехмерного моделирования по данным компьютерной томографии.



а) Линии уровня
на плоскости $y = 0$

б) Линии уровня
на плоскости $z = 0$

Рис. 7. Результаты расчетов для реалистичной геометрии торса,
сердца и легких человека

Коэффициент проницаемости области Ω_0 принимался равным $k_0 = 1$, коэффициенты проницаемости легких принимались равными

$k_1 = k_2 = 4.2$, что соответствует состоянию вдоха. На рис. 7 представлены линии уровня потенциал для плоских сечений $z = 0$ и $y = 0$.

Таким образом, представленные в работе алгоритмы могут эффективно применяться для задач численного анализа полей постоянных токов в трехмерных кусочно-однородных областях со сложной геометрией.

Литература

1. Бурсиан В. Р. Теория электромагнитных полей, применяемых в электроразведке. — 2-е, испр. и доп. изд.— Л.: Недра, 1972.— 368 с.
2. Дмитриев В. И., Захаров Е. В. Метод расчета поля постоянного тока в неоднородных проводящих средах // Вычислительные методы и программирование.— 1973.— № 20.— С. 175–186.
3. Тозони О. В., Маергойз И. Д. Расчет трехмерных электромагнитных полей. — Киев: Техника, 1974.— 352 pp.
4. MacLeod R. S., Brooks D. H. Recent progress in inverse problems in electrocardiology // IEEE Eng. in Med. Bio. Mag.— 1998.— Vol. 17, no. 1.— Pp. 73–83.
5. Ефимов И. Р., Сембелашивили А. Т., Никольский В. Н. Прогресс в изучении механизмов электрической стимуляции сердца // Вестник аритмологии.— 2002.— № 26.
6. Electrical impedance tomography / G. J. Saulnier, R. S. Blue, J. C. Newell et al. // IEEE Signal Processing Magazine.— 2001.— Vol. 18, no. 6.— Pp. 31–43.
7. Дмитриев В. И., Захаров Е. В. О численном решении некоторых интегральных уравнений Фредгольма 1-го рода // Вычислительные методы и программирование.— 1968.— № 10.
8. Смагин С. Численное решение интегрального уравнения 1-го рода со слабой особенностью для плотности потенциала простого слоя // ЖВМ и МФ.— 1988.— Т. 28, № 11.— С. 1663–1673.
9. Смагин С. Численное решение интегрального уравнения 1-го рода со слабой особенностью на замкнутой поверхности // Доклады АН СССР.— 1988.— Т. 303, № 5.— С. 1048–1051.
10. Гольник Э. Р., Вдовиченко А. А., Успехов А. А. Построение и применение препроцессора генерации, управления качеством и оптимизации сеток триангуляции контактных систем // Информационные технологии.— 2004.— № 4.— С. 2–10.
11. Бреббия К., Теллес Ж., Броубел Л. Методы граничных элементов: Пер. с англ.— М.: Мир, 1987.
12. Dunavant D. A. High degree efficient symmetrical gaussian rules for the triangle // Int. J. Num. Meth. Eng.— 1985.— Vol. 21.— Pp. 1129–1148.